

Раздел I.  
МАТЕМАТИЧЕСКОЕ МОДЕЛИРОВАНИЕ.

Ильинский А.С., Галишникова Т.Н., Бережная И.В.

**Исследование характеристик отражения электромагнитного поля от волнистой периодической границы раздела прозрачных сред**

Данная работа продолжает исследования задач отражения поля плоской электромагнитной волны от нерегулярной границы раздела сред. Авторами разработаны различные математические модели, учитывающие геометрию границы раздела сред, близкую к проводимым натурным экспериментам [1,2]. Построены численные алгоритмы решения задач отражения поля плоской двумерной волны как от периодической волнистой границы раздела двух прозрачных сред [3-5], так и от достаточно протяженного конечного участка взволнованной поверхности, на которой выполняются импедансные граничные условия [4]. Проведены вычислительные эксперименты для задачи отражения плоской Е-поляризованной электромагнитной волны от прозрачной волнистой границы раздела сред [3]. Основой для построения численных алгоритмов является метод интегральных уравнений. В данной работе исследуются характеристики отражения и распределение магнитного поля на волнистой прозрачной периодической границе раздела сред в случае, когда падающее поле Н-поляризовано.

**Постановка задачи.** Исследуем задачу дифракции поля двумерной плоской Н-поляризованной электромагнитной волны на периодической прозрачной границе раздела двух сред. Для построения математической модели выберем декартову систему координат  $xuz$  таким образом, чтобы ось  $Z$  была параллельна цилиндрической образующей поверхности раздела, периодической в направлении оси  $x$ . Пусть среда над границей (область  $D_1$ ) и под границей (область  $D_2$ ) определяется диэлектрическими  $\epsilon_{1,2}$  и магнитными  $\mu_{1,2}$  проницаемостями соответственно. Волновые числа  $k_{1,2}$  определяются по формуле  $k_{1,2} = \omega \sqrt{\epsilon_{1,2} \mu_{1,2}}$ , где  $\omega$  - круговая частота. Будем предполагать, что  $\epsilon_1$  - действительное число. Зависимость от времени есть  $\exp(-i\omega t)$ .

Обозначим через  $v_0(x, y)$  нормированное поле падающей плоской волны вида

$$v_0(x, y) = \exp(-ik_1 \sin \theta_0 x - ik_1 \cos \theta_0 y), \quad (1)$$

где  $\theta_0$  - угол между отрицательным направлением оси  $y$  и проекцией на плоскость  $z = 0$  направления распространения падающего поля.

Пусть  $v_{1,2}(x, y) = H_z^{(1,2)}(x, y)$  - значения проекций на ось  $Z$  магнитных полей в областях  $D_{1,2}$  соответственно. Можно показать [6], что искомые функции  $v_{1,2}(x, y)$  в областях  $D_{1,2}$  удовлетворяют двумерным уравнениям Гельмгольца

$$\left( \frac{\partial^2}{\partial x^2} + \frac{\partial^2}{\partial y^2} + k_{1,2}^2 \right) v_{1,2}(x, y) = 0. \quad (2)$$

Условия непрерывности тангенциальных компонент электромагнитного поля при

переходе через границу раздела сред (обозначим ее через  $S$ ) записываются в виде

$$v_1(x, y) = v_2(x, y), \quad \frac{1}{\varepsilon_1} \frac{\partial v_1(x, y)}{\partial n} = \frac{1}{\varepsilon_2} \frac{\partial v_2(x, y)}{\partial n}; \quad (3)$$

здесь  $\partial/\partial n$  - производная по нормали  $\mathbf{n}$ , внешней к области  $D_1$ . Рассеянное поле должно удовлетворять условиям излучения, которые в области  $D_1$  имеют вид:

$$v_1(M) = v_0(M) + \sum_{m=-\infty}^{\infty} R_m \frac{1}{\sqrt{b}} \exp\left\{i \frac{t+2\pi m}{b} x_M\right\} \exp\left\{i \sqrt{k_1^2 - \left(\frac{t+2\pi m}{b}\right)^2} y_M\right\}, \quad (4)$$

где  $t = k_1 b \sin \theta_0$ ,  $b$  - период граничной поверхности,  $R_m$  - коэффициенты отражения.

С учетом геометрии структуры и характера падающего поля исследуемая во всем пространстве  $R^2$  задача дифракции сводится к решению внутри одного периода, границу раздела в котором обозначим  $S_0$ .

Для получения интегральных уравнений используем формулы Грина и квазипериодические фундаментальные решения  $g_{1,2}(M, P)$  для неоднородного уравнения Гельмгольца в областях  $D_{1,2}$ :

$$\left( \frac{\partial^2}{\partial x^2} + \frac{\partial^2}{\partial y^2} + k_{1,2}^2 \right) g_{1,2}(M, P) = -2\pi \delta(M, P). \quad (5)$$

Функции  $g_{1,2}(M, P)$  определены во всем пространстве  $R^2$ , удовлетворяют условиям излучения и имеют вид [1,2,6]:

$$g_{1,2}(M, P) = \frac{i\pi}{2} \sum_{n=-\infty}^{\infty} \frac{\exp(i\lambda_n \Delta x) \exp(i\gamma_n^{(1,2)} |\Delta y|)}{\gamma_n^{(1,2)}},$$

$$\lambda_n = (t + 2\pi n)/b, \quad \gamma_n^{(1,2)} = \sqrt{k_{1,2}^2 - \lambda_n^2}, \quad \text{Im} \gamma_n^{(1,2)} > 0, \quad (6)$$

$$\text{Im} \gamma_n^{(1,2)} = 0, \quad \text{Re} \gamma_n^{(1,2)} > 0,$$

$$M = (x_M, y_M), \quad P = (x_P, y_P), \quad \Delta x = x_M - x_P, \quad \Delta y = y_M - y_P.$$

Исследуемая задача дифракции (1)-(4) сводится к решению системы из двух интегральных уравнений относительно неизвестных магнитных полей  $v(P) = v_1(P)$ ,  $\partial v(P)/\partial n = \partial v_1(P)/\partial n$  на  $S_0$  в области  $D_1$ , которые записываются следующим образом [1,2]:

$$v(M) = \frac{1}{2\pi} \int_{S_0} \left[ v(P) \frac{\partial}{\partial n_P} (g_2(M, P) - g_1(M, P)) + \frac{\partial v(P)}{\partial n_P} \left( g_1(M, P) - \frac{\varepsilon_2}{\varepsilon_1} g_2(M, P) \right) \right] ds_P + v_0(M), \quad M \in S_0, \quad (7)$$

$$\frac{1}{2} \left( 1 + \frac{\varepsilon_2}{\varepsilon_1} \right) \frac{\partial v(M)}{\partial n} = \frac{1}{2\pi} \int_{S_0} \left[ v(P) \frac{\partial^2}{\partial n_M \partial n_P} (g_2(M, P) - g_1(M, P)) - \frac{\partial v(P)}{\partial n_P} \frac{\partial}{\partial n_M} \left( \frac{\varepsilon_2}{\varepsilon_1} g_2(M, P) - g_1(M, P) \right) \right] ds_P + \frac{\partial v_0(M)}{\partial n_M}, \quad M \in S_0, \quad (8)$$

где  $v_0(M)$  - падающее поле (1). Система интегральных уравнений (7)-(8) решается сведением к системе линейных алгебраических уравнений, для получения которой неизвестные функции  $v(P)$  и  $\partial v(P)/\partial n$  приближались сплайнами первого порядка на равномерной сетке [3].

**Численные результаты.** Проведены исследования характеристик отражения и распределения магнитного поля на границе раздела двух прозрачных сред. Численные расчеты проводились для различных частот, углов падения плоской Н-поляризованной волны и диэлектрической проницаемости, характеризующей отражающую среду. Рассмотрены случаи, когда отраженное поле имеет как одно-, так многоволновый характер.

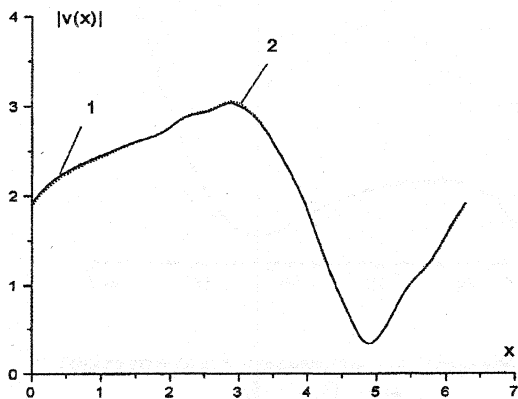


Рис. 1. Зависимость  $|v(x)|_{S_0}$  от порядка системы для наклонного падения плоской волны ( $k_1 = 0.75$ ,  $\theta_0 = 20^\circ$ )

Исследованы зависимости коэффициентов отражения электромагнитного поля от угла падения плоской волны в диапазоне  $0^\circ \leq \theta_0 \leq 89^\circ$ . Детально исследованы распределение поля на границе раздела сред и поведение коэффициентов отражения в окрестности критических углов, при переходе через которые происходит перераспределение отраженного поля по гармоникам. Приведенные ниже численные расчеты выполнены для случая, когда период решетки  $b = 2\pi$ , контур  $S_0$  задавался формулой  $f(x) = 1 - \cos x$ ,  $0 \leq x \leq 2\pi$ ,  $\mu_1 = \mu_2 = 1$ ,  $\varepsilon_1 = 1$ . Для задачи отражения Е-поляризованной плоской волны от прозрачной границы раздела сред результаты таких исследований приведены в работе [3].

На рис. 1 показана сходимость искомого решения  $|v(x)|_{S_0}$  в зависимости от порядка решаемой системы линейных алгебраических уравнений. Волновое число для среды  $D_1$  есть  $k_1 = 0.75$ , диэлектрическая проницаемость среды  $D_2$ :  $\varepsilon_2 = 50 + 4i$ . Плоская волна падает под углом  $\theta_0 = 20^\circ$ , следующим сразу за критическим  $\theta_{kp} = \arcsin(1/3)$ . Отраженное поле содержит две распространяющиеся гармоники ( $n = 0, -1$ ). Кривые 1 и 2, полученные путем решения систем линейных алгебраических уравнений порядка 80 и 100, практически не отличаются, что говорит о точности численных результатов.

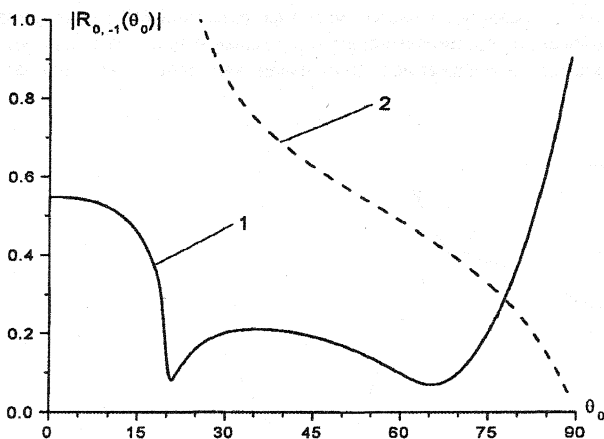


Рис. 2. Зависимость коэффициентов отражения от угла падения плоской волны ( $k_1 = 0.75$ ).

На рис. 2 исследована зависимость коэффициентов отражения от угла падения плоской волны. Расчеты проводились для  $k_1 = 0.75$ ,  $\varepsilon_2 = 50 + 4i$ . В этом случае при  $\theta_0 \in [0^\circ; \theta_{kp})$  отраженное поле содержит одну распространяющуюся нулевую

гармонику, при  $\theta_0 \in (\theta_{kp}, 90^\circ)$  распространяются две гармоники ( $n = 0, -1$ ). Угол  $\theta_{kp}$  находится в окрестности  $19^\circ < \theta_{kp} < 20^\circ$ , где наблюдается резкое изменение значений амплитуды нулевой гармоники поля, что объясняется и значительным изменением распределения функции  $|v(x)|_{S_0}$  при переходе угла падения плоской волны через  $\theta_{kp}$ .

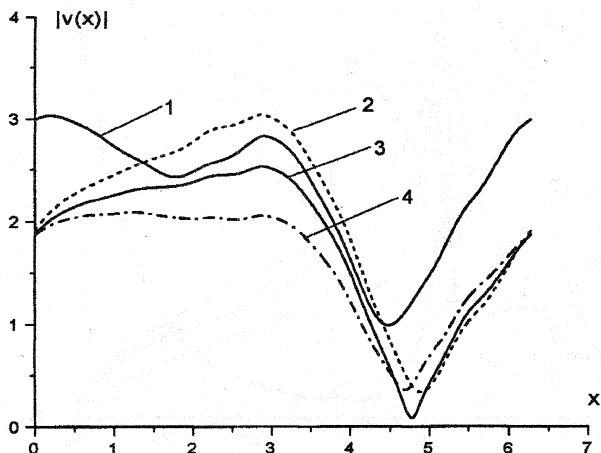


Рис. 3. Изменение распределения наводимых токов при переходе через критические углы ( $k_1 = 0.75$ )

На рис. 3 представлены результаты расчетов распределения  $|v(x)|_{S_0}$

для  $\theta_0 = 19^\circ, 20^\circ, 21^\circ, 25^\circ$  (кривые 1-4) до и после угла  $\theta_{kp}$ . Кривая 1 соответствует току на  $S_0$  до  $\theta_{kp}$ , а кривые 2-4 – после  $\theta_{kp}$ . Из приведенных на рис. 3 численных результатов видно, что незначительное изменение угла падения плоской волны в окрестности критических углов влечет за собой существенное изменение поведения функции  $|v(x)|_{S_0}$ .

На рис. 4 для  $k_1 = 1.75$  и  $\varepsilon_2 = 36 + 4i$  исследована частотная зависимость коэффициентов отражения от угла падения плоской волны. В отличие от результатов, приведенных на рис. 2, для рассматриваемого значения частоты распределение отраженного поля по гармоникам изменяется при переходе через 3 критических угла:  $\theta_{kp,1} = \arcsin(1/7) \approx 8^\circ 12'$ ,  $\theta_{kp,2} = \arcsin(1/7) \approx 25^\circ 21'$ ,  $\theta_{kp,3} = \arcsin(1/7) \approx 45^\circ 35'$ .

В диапазоне  $\theta_0 \in [0^\circ; \theta_{kp,1})$  отраженное поле содержит 3 распространяющиеся

гармоники ( $n = 0, \pm 1$ ); в диапазоне  $\theta_0 \in (\theta_{кр,1}, \theta_{кр,2})$  содержит 4 распространяющихся гармоники ( $n = 0, \pm 1, -2$ ); в диапазоне  $\theta_0 \in (\theta_{кр,2}, \theta_{кр,3})$  содержит 3 распространяющихся гармоники ( $n = 0, -1, -2$ ) и наконец при  $\theta_0 \in (\theta_{кр,3}, 90^\circ)$  распространяются 4 гармоники ( $n = 0, -1, -2, -3$ ).

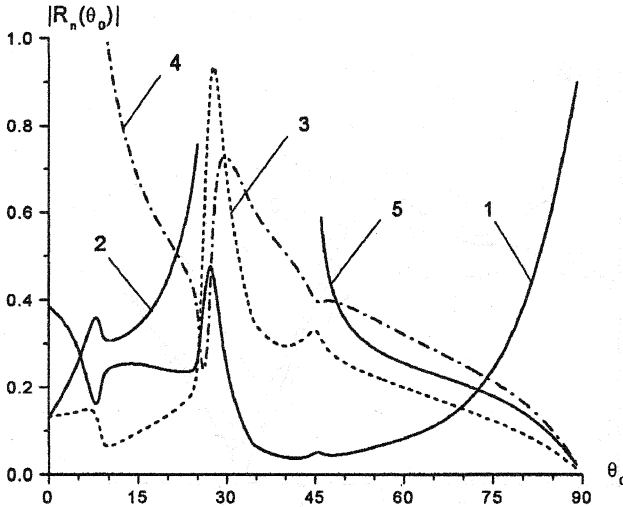


Рис. 4. Зависимость коэффициентов отражения от угла падения плоской волны ( $k_1 = 1.75$ )

Кривые 1-5 соответствуют  $|R_i|, i = 0, 1, -1, -2, -3$ , где  $R_i$  - амплитуды коэффициентов отражения. Как и ожидалось, вблизи критических углов плавный характер полученных кривых нарушается. Максимальное значение нулевой гармоники достигается при угле, близком к  $90^\circ$ .

Для тех же значений расчетных параметров, что и на рис. 4, на рис. 5 представлено изменение поведения тока при переходе через  $\theta_{кр}$ . Кривые 1 и 2 соответствуют токам, когда плоская волна падает под углом до и после  $\theta_{кр,1}$ , т.е.  $\theta_0 = 8^\circ; 9^\circ$ , кривые 3 и 4, 5 и 6 соответствуют углам падения плоской волны до и после  $\theta_{кр,2}$  и  $\theta_{кр,3}$ , т.е.  $\theta_0 = 25^\circ; 26^\circ$  и  $\theta_0 = 45^\circ; 46^\circ$ . Изменение угла падения на один градус в окрестности критических углов дает заметное изменение тока.

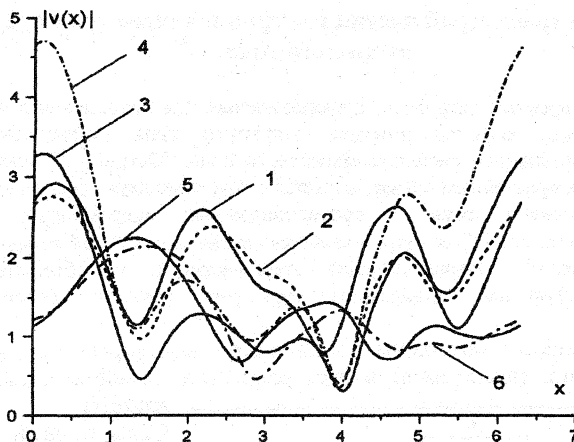


Рис. 5. Изменение распределения наводимых токов при переходе через критические углы ( $k_1 = 1.75$ )

Приведенные численные результаты демонстрируют высокую точность разработанного численного метода и возможность проведения вычислительных экспериментов в резонансном частотном диапазоне для расчета характеристик отражения и распределения поля на границе раздела двух прозрачных периодических сред для различных углов падения плоской волны.

Работа выполнена при поддержке Российского Фонда Фундаментальных исследований (проект № 99-02-16972) и межвузовской научной программы "Университеты России – фундаментальные исследования" (проект № 990894).

#### Литература.

1. Ильинский А.С., Галишникова Т.Н. Математическое моделирование процесса отражения плоской электромагнитной волны волны от волнистой поверхности // Радиотехника и электроника, 1999, т. 44, № 7. С. 773-786.
2. Галишникова Т.Н., Ильинский А.С. Рассеяние плоской волны на волнистой поверхности // Математические модели естествознания, М.: Изд-во МГУ, 1995. С. 86-111.
3. Ильинский А.С., Галишникова Т.Н., Бережная И.В. Характеристики отражения от волнистой границы раздела прозрачных сред // Прикладная математика и информатика: Труды факультета ВМиК МГУ им. М.В.Ломоносова, М.: Изд-во Диалог – МГУ, 1999, № 3. С. 33-42.
4. Ильинский А.С., Галишникова Т.Н., Бережная И.В. Сравнение двух математических моделей в задаче дифракции Н-поляризованной волны на нерегулярной границе раздела сред // Вестник МГУ. Сер. 15, Вычислит. Математика и кибернетика. (В печати).
5. Ilinski A.S., Galishnikova T.N. Mathematical models in EM wave scattering by wavy surfaces // Proceedings of the 1<sup>st</sup> Workshop on Electromagnetic and Light Scattering: Theory and Applications. Moscow: Moscow Lomonosov State University Edition of Computational Mathematics and Cybernetics Faculty, 1997. P. 84-88.
6. Галишникова Т.Н., Ильинский А.С. Численные методы в задачах дифракции // М.: Изд-во МГУ, 1987. 288 с.